

ポテンシャルを用いた平板の解析

京都大学工学部

,

,

,

正員

丹羽義次

正員

小林昭一

学生員

○金田豊次

1. 序文

板の解析に関しては種々の方法が提案されている。大別すると、解析的方法とアプローチとし、最初から近似モデルを考慮した数値計算によるものに分けられることがある。前者の例としては、フーリエ級数展開法等、代表的なものがとてあげることが出来るが、これには、ある限られた形状を持った板にいか適用が未だひとつ欠点がある。後者に関しては、差分法(F.D.M.)や有限要素法(F.E.M.)等があり、任意形状の取り扱いが可能である。しかし、必要とする値は、境界内の数点で充分なことがかぎりない。それ故に、F.D.M.やF.E.M.では、不必要的計算を行なうことになりかねない。

ここで、我々が試みた方法は、以下に述べるように任意形状を扱うことが可能で、板全体ではなく、板の境界上だけでも未知数を考える解析的方法アプローチである。F.E.M.やF.D.M.に比べて、かなり少なり未知数でよく、それに応じて方程式の解法を容易となり、かつ十分な精度の解が求められるという特徴がある。

2. 本文

本研究は、板の基礎方程式

$\nabla^4 w = \gamma / D$ (w : 機材, γ : 分布荷重, D : 板剛性) の一般解を、ポテンシャルという形に置きかえて、それを各種の境界条件を満足する形に整えるところのものである。ここで

$w = W + \bar{w}$ (W : 一般解 ($\nabla^4 W = 0$), \bar{w} : 特解) と考える。この W は重調和関数であるから、2つの調和関数 φ , ψ を用いて、

$$W = r^2 \varphi + \psi \quad (r^2 = x^2 + y^2, \nabla^2 \varphi = \nabla^2 \psi = 0)$$

と表わされる。ここで、 φ , ψ とて対数ポテンシャルを考える。すなわち、

$$\varphi = \int_L \log |P - S| \cdot \sigma(S) ds, \quad \psi = \int_L \log |P - S| \cdot \mu(S) ds.$$

ここで σ , μ は密度関数と呼ばれる境界 L 下定義された関数, P は任意点, S は境界上の点, ds は境界上の微小要素を示す。それ故、この 2 つの密度関数 σ , μ 加得されればポテンシャルが求まり、従って境界内の任意点の機材, モーメントは求められる事になる。

以下具体的に順を追って解法を述べる。本研究では境界条件として、単純支持・完全固定の 2 つの組み合わせた場合、及び別個に与えられた場合を考えた。それ故、境界条件として与えられるのは、機材・機材角・モーメントである。図上のように座標をとれば、境界上における n 方向の曲げモーメント M_n は、

$$M_n = -D \left(\frac{\partial^2 w}{\partial n^2} + \nu \frac{\partial^2 w}{\partial t^2} \right) = -D \left(\nabla^2 w + \frac{1-\nu}{\rho} \frac{\partial^2 w}{\partial n^2} \right) \doteq -D \nabla^2 w \quad \left(\frac{1}{\rho} \doteq 0 \right)$$

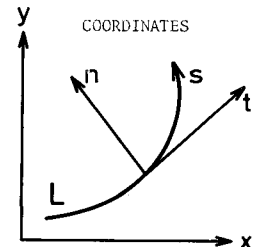


Fig. 1

で与えられる (ρ は境界の曲率半径を示す)。境界上のある点が単純支持点であれば、

$$w = M_n = 0 \quad i.e. \quad w = \nabla^2 w = 0$$

完全固定点であれば

$$w = \frac{\partial w}{\partial n} = 0$$

と(1)の境界条件が得られる。以下、2種類の支持条件に対して、各々次の2つの連立積分方程式が得られる。(P は境界上の点を示す。)

$$\begin{array}{l} \text{単支} \\ \left. \begin{array}{l} \circ (x^2 + y^2) \int_L \log |P - \rho| \cdot \sigma(s) ds + \int_L \log |P - \rho| \cdot \mu(s) ds = -W_1 \\ \times \left\{ \int_L \log |P - \rho| \cdot \sigma(s) ds + x \left\{ \int_L \log_x |P - \rho| \cdot \sigma(s) ds + \pi \sigma(P) \frac{\partial x}{\partial n} \right\} \right. \right. \\ \left. \left. + 4y \left\{ \int_L \log_y |P - \rho| \cdot \sigma(s) ds + \pi \sigma(P) \frac{\partial y}{\partial n} \right\} \right\} = -\nabla^2 W_1 \end{array} \right\} \\ \text{完全支} \\ \left. \begin{array}{l} \circ (x^2 + y^2) \int_L \log |P - \rho| \cdot \sigma(s) ds + \int_L \log |P - \rho| \cdot \mu(s) ds = -W_1 \\ \circ 2(x \cdot x_m + y \cdot y_m) \int_L \log |P - \rho| \cdot \sigma(s) ds + (x^2 + y^2) \left\{ \int_L \log_x |P - \rho| \cdot \sigma(s) ds + \pi \sigma(P) \right\} \\ + \int_L \log_y |P - \rho| \cdot \mu(s) ds + \pi \mu(P) = -W_1 \end{array} \right\} \end{array}$$

ここで添字は x の変数による偏微分を示す。持解 W_1 は、等分布荷重の場合には、

$$W_1 = \frac{q}{48D} (x^4 + y^4)$$

原点に集中荷重が作用した場合には、

$$W_1 = \frac{P}{8\pi D} n^2 \log(\frac{n}{a}) \quad (n: 任意定数)$$

で与えられる。この連立積分方程式を解き、密度関数を求める試みがあるが、矩形板などの隅角部は特異点となるので、直接扱うことは不可能である。以下適当な半径を持った円で隅角部を置きかえて特異性を除去する必要がある。一方この方程式の解析解を求ることは実際には不可能であるので、数值計算に頼らざるを得ない。以下、例は

$$x(t) - \int_a^t K(t, \xi) \cdot x(\xi) d\xi = f(t)$$

という、第2種フレドホルム型積分方程式を

$$x_i - \sum_j K_{ij} x_j = f_i$$

というように、連立一次方程式に置きかえて解くことにする。

3. 結果

計算の一例として、周囲を単純支持された、図2に示す矩形板に(A)等分布荷重を作用させた時の中央点の挠み、モーメントと、(B)中央に集中荷重 P を作用させた時の中央点の挠みを、Timoshenko が計算した値と比較し、更に数值計算を行なう際の境界分割数について

どの程度精度が変わるかも並記した。この他の数種の計算例については、講演会当日に報告する予定である。

4. 参考文献

M. A. Jaswon, M. Maiti, "An Integral Equation Formulation of Plate Bending Problems",

Journal of Engineering Mathematics, Vol. 2, pp. 83-93, 1968.

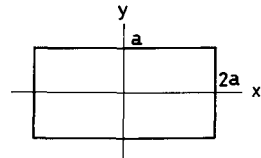


Fig. 2 SIZE OF PLATE

	W max	qa^4/D	NUMBER OF SECTIONS			
			TIMOSHENKO	64	48	24
A	Mx(x=y=0)	qa^2	0.186	0.186	0.186	0.185
	My(x=y=0)	qa^2	0.407	0.407	0.409	0.414
	W max	Pa^2/D	0.0660	0.0659	0.0661	0.0668

Table 1. Comparison between Theoretical Solutions and Numerical Solutions